

TOPSO' 0603960

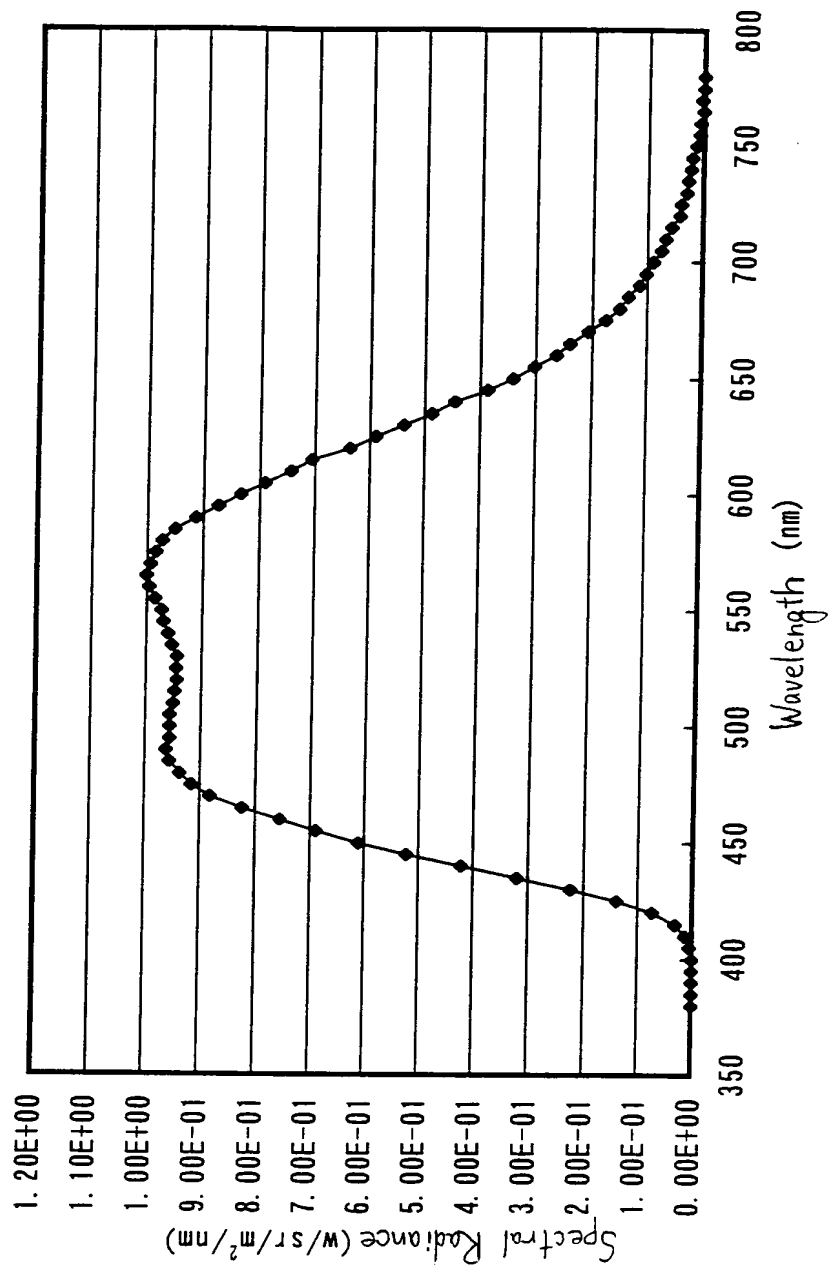


Fig. 1

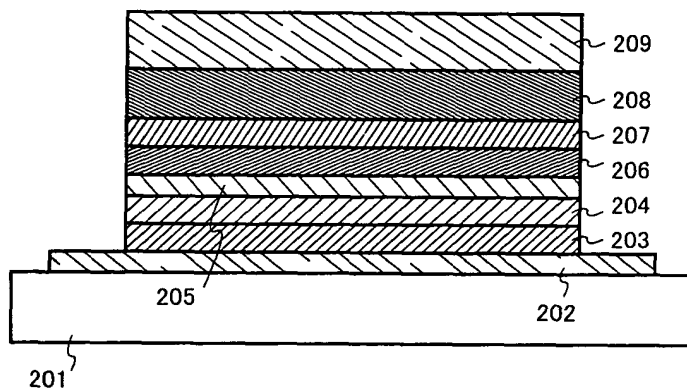


Fig. 2

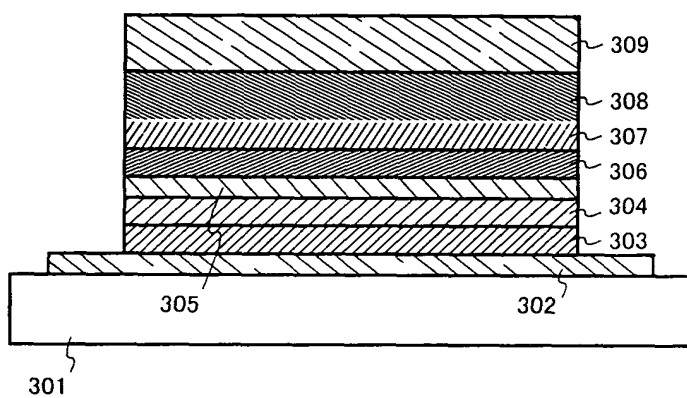


Fig. 3

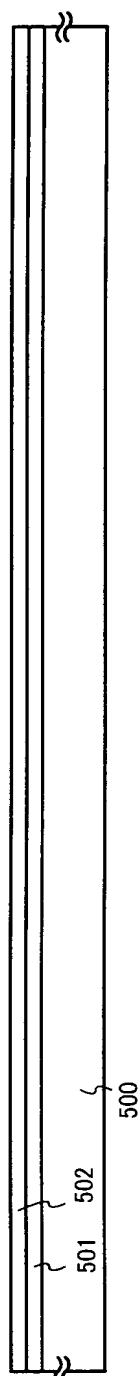


Fig. 4A

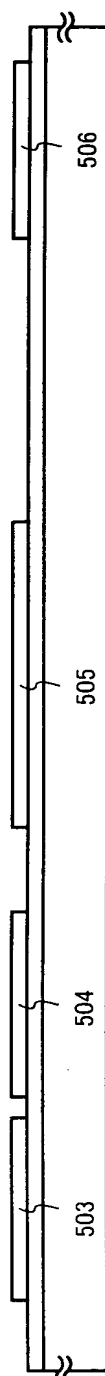


Fig. 4B

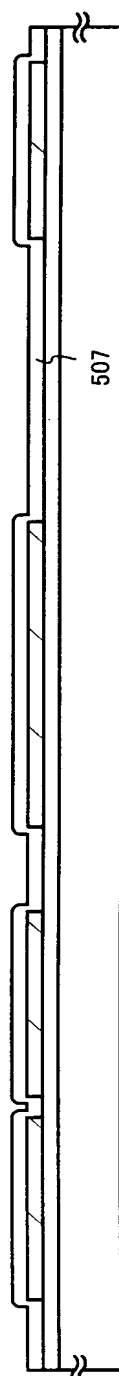


Fig. 4C

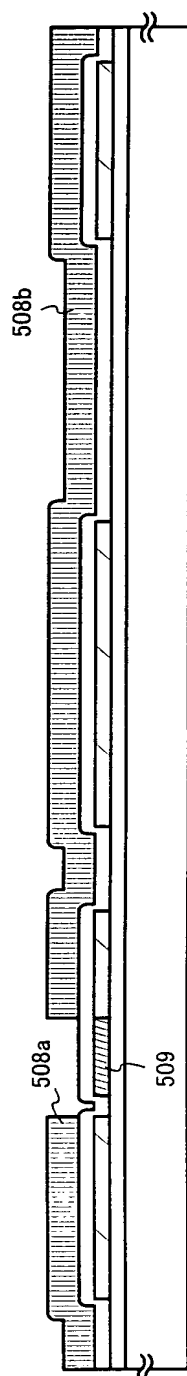


Fig. 4D

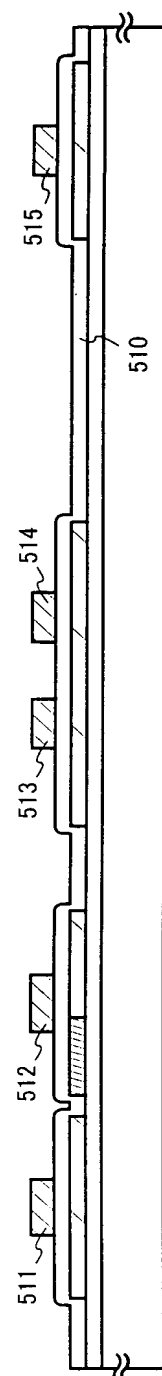


Fig. 4E

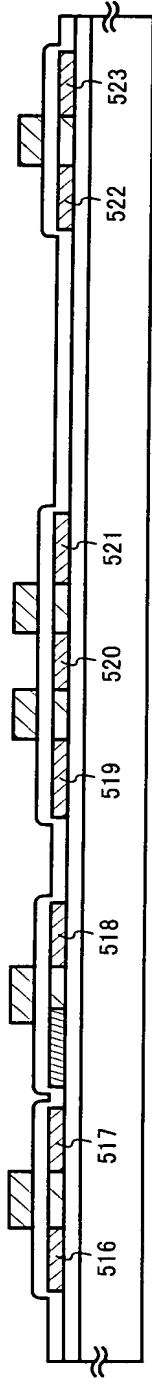


Fig. 5A

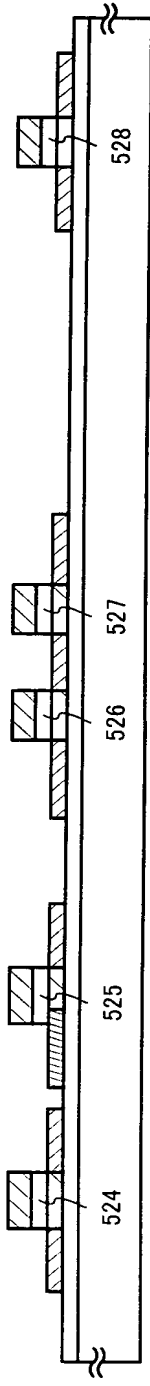


Fig. 5B

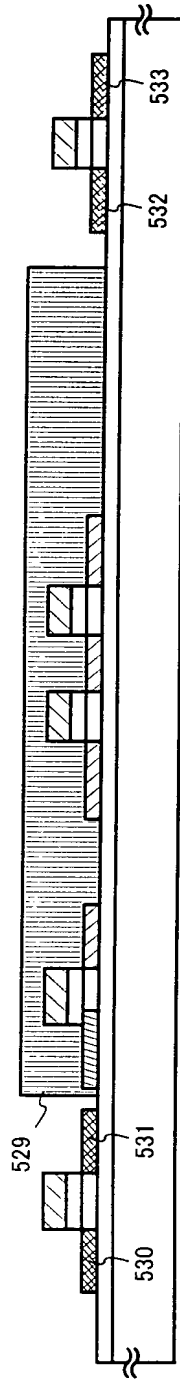


Fig. 5C

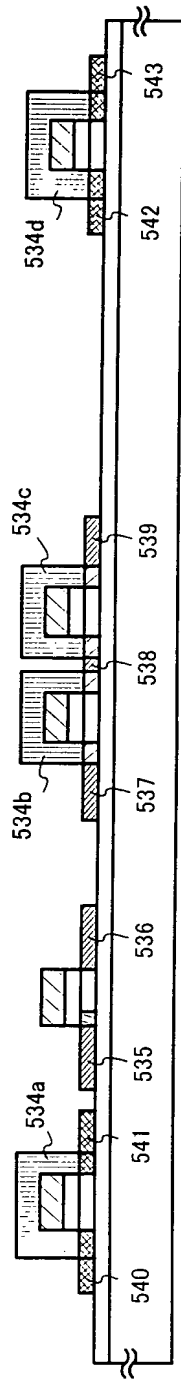


Fig. 5D

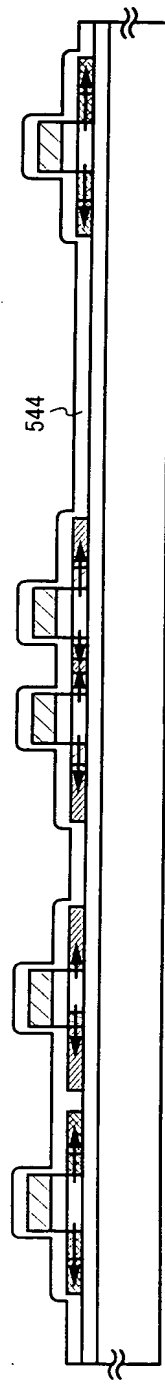


Fig. 5E

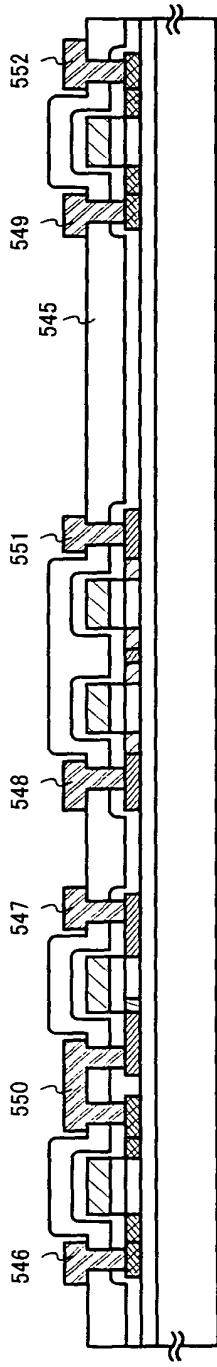


Fig. 6A

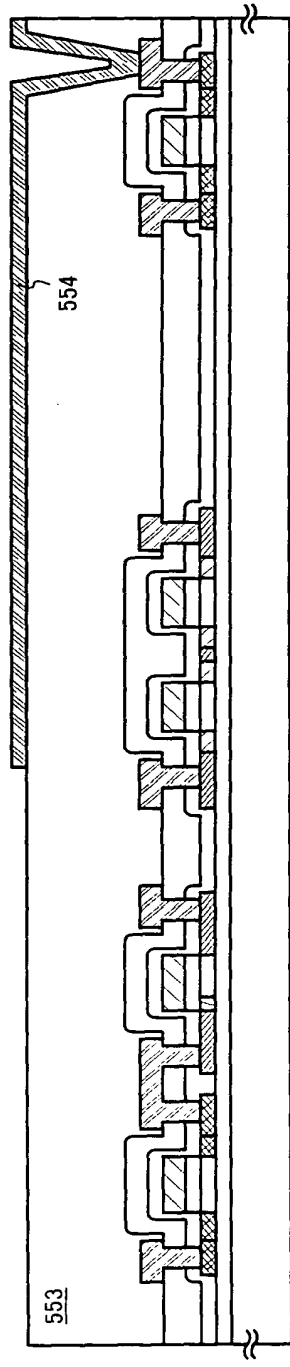


Fig. 6B

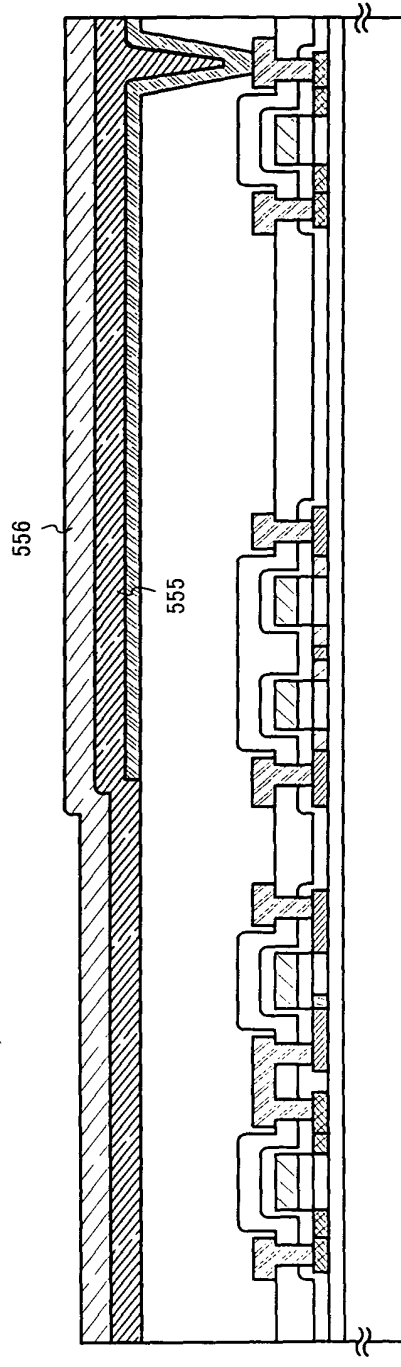


Fig. 6C

1007132 06035260

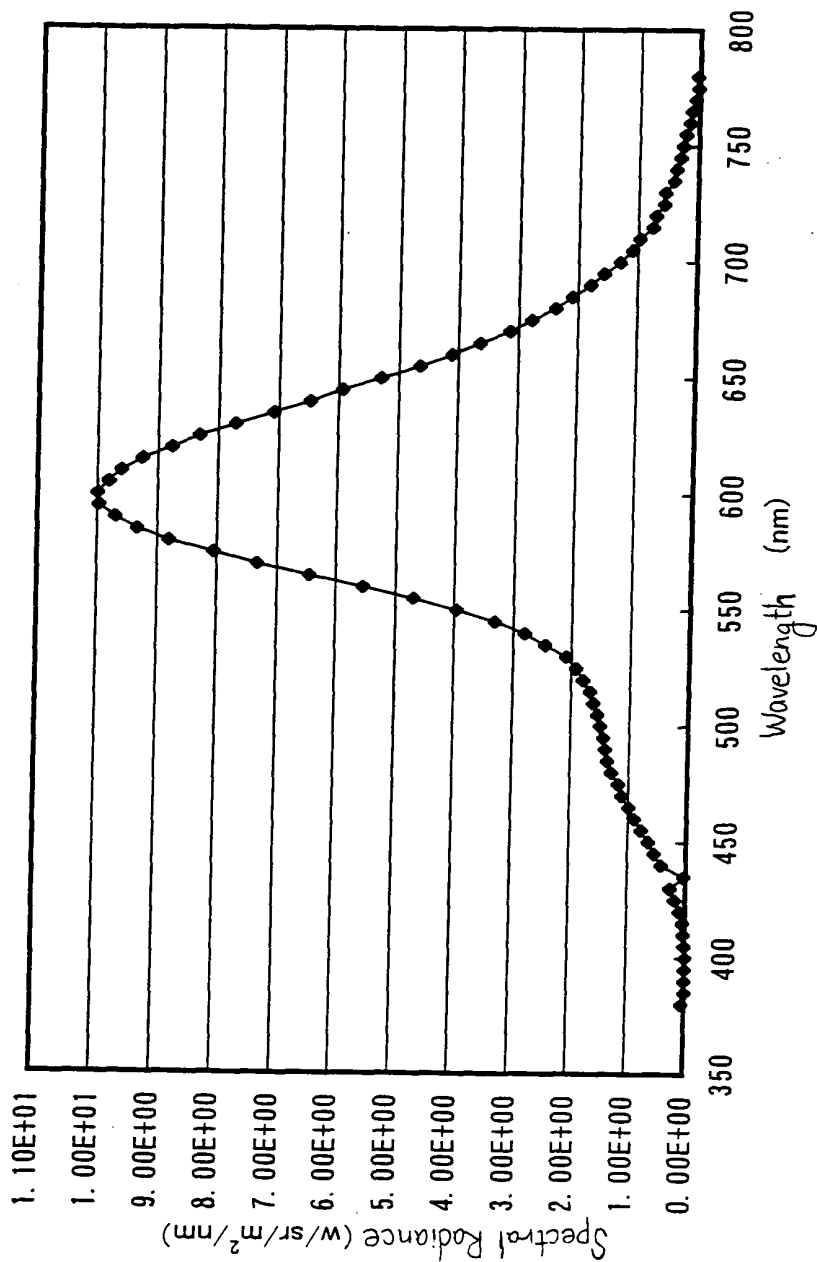


Fig. 8

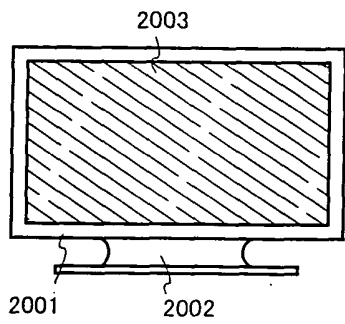


Fig. 9A

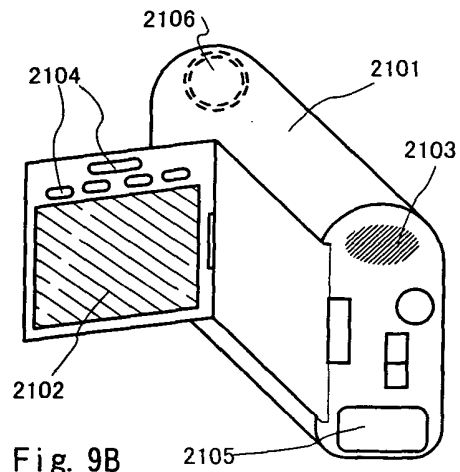


Fig. 9B

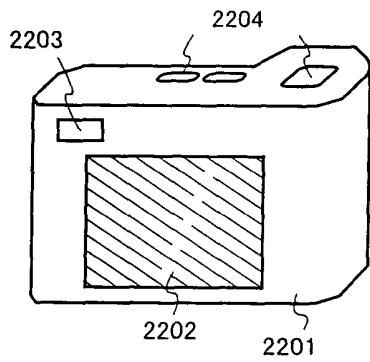


Fig. 9C

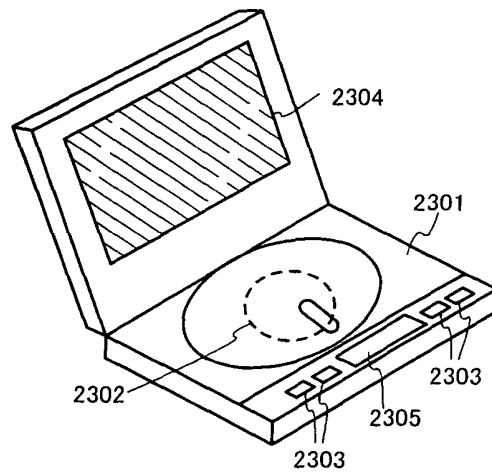


Fig. 9D

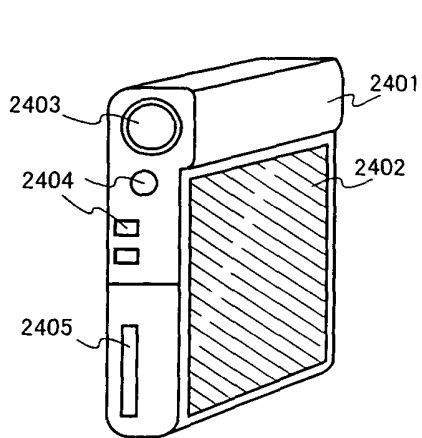


Fig. 9E

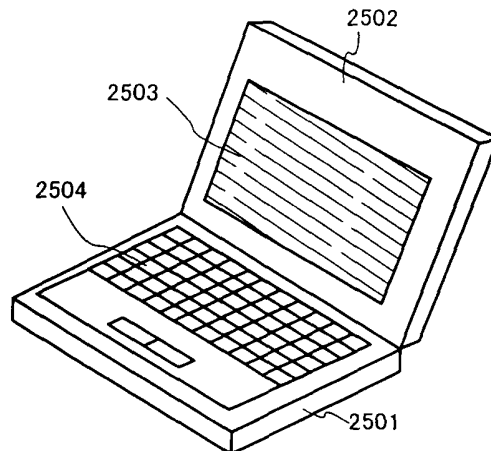


Fig. 9F

Fig. 9A Fig. 9B Fig. 9C Fig. 9D Fig. 9E Fig. 9F